

## **Localization of Epidermal-Type Fatty Acid Binding Protein in Degeneration and Regeneration of Sciatic Nerve after Crush Injury in Mouse**

**Jamalpoor Z., M.Sc., Nourani M.R., Ph.D.\* , Taghipour H.R., M.D., Owada Y., M.D., Ph.D.**

*\*Chemical Injury Research Center (CIRC), Baqiyatallah Medical Sciences University (BMSU), Mollasadra Avenue, Tehran, Iran*

### **Abstract**

**Purpose:** The regeneration of axon and myelin sheet after crush injury of peripheral nerves involves interaction of several types of cells, including Schwann cells, monocyte, macrophage and fibroblast. Among them, haematogenous macrophages invading into the peripheral nervous system play a major role in myelin uptake during Wallerian degeneration.

**Materials and Methods:** In this study 35 C57/BL6 male mice 10 weeks old were used and classified in 7 groups of 5 mice. The localization of epidermal-type fatty acid binding protein (E-FABP) in the mature mouse sciatic nerve after crush injury was examined by immuno-light microscopy.

**Results:** Numerous macrophages immunopositive for both anti-E-FABP and F4/80 a macrophage marker, were found in degeneration process of sciatic nerve. Macrophages contained phagosomes of various sizes and they were regarded as those actively involved in the phagocytosis of sciatic nerve debris.

**Conclusion:** The present detection of E-FABP immunopositivity selectively in invading macrophages suggests possible involvement of E-FABP and/or its fatty acids ligand in the process of peripheral nerve regeneration.

**Key words:** Sciatic nerve, Regeneration, Macrophages, FABP

## بیان نوع پوستی پروتئین متصل شونده به اسیدهای چرب (E-FABP) در مراحل آسیب و ترمیم عصب سیاتیک موش

زهرا جمالپور M.Sc.\*، محمد رضا نورانی Ph.D.\*\*، حمیدرضا تقی پور M.D.\*\*\*، یوجی اوادا M.D.,Ph.D.\*\*\*

\* گروه فیزیولوژی دانشگاه علوم پزشکی بقیه الله (عج)، تهران، ایران  
\*\* مرکز تحقیقات آسیب‌های شیمیایی دانشگاه علوم پزشکی بقیه الله (عج)، تهران، ایران  
\*\*\* مرکز تحقیقات تروما دانشگاه علوم پزشکی بقیه الله (عج)، تهران، ایران  
\*\*\* گروه ارگان آناتومی دانشگاه یاماگوچی، ژاپن  
تاریخ وصول: دی‌ماه ۸۷، تاریخ پذیرش: اسفندماه ۸۷

### چکیده

**هدف:** پس از اعمال تروما به یک عصب محیطی، تغییرات گسترده‌ای در سطح مولکولی و سلولی اتفاق می‌افتد تا شرایط لازم برای ترمیم عصب به وجود بیاید. با شناخت مولکول‌هایی که در تعامل بین پارامترهای موثر در روند ترمیم عصب محیطی مانند سلول‌های شوآن، منوبیت، ماکروفاژ و فیبروبلاست نقش دارند و شناخت عملکرد آن‌ها می‌توان به مکانیزم مولکولی ترمیم عصب دست یافت.  
**مواد و روش‌ها:** این مطالعه به روش تجربی انجام شد. ۳۵ موش نژاد C57BL6 در ۷ گروه ۵ عددی شامل طبیعی، ۱، ۲، ۳، روزه و ۱، ۳، ۶ هفته بعد از عمل جراحی له شدگی عصب بررسی شد. مقاطع نیمه نازک عصب تحت آنالیز مورفومتری و مورفولوژی قرار گرفتند و برش‌های عرضی ۲۰ میکرونی یخی برای لوکالیزاسیون مولکول FABP (Fatty Acid Binding Proteins) در مراحل دژنراسانس و رژنراسانس استفاده شد.  
**یافته‌ها:** در این مطالعه مولکول E-FABP (Epidermal-type Fatty acid Binding Protein) در ماکروفاژهای مهاجم به محل آسیب عصب به شدت بیان شد.  
**نتیجه‌گیری:** بیان مولکول E-FABP بر نقش فعال آن یا لیگاند‌هایش و اسیدهای چرب موجود در عصب سیاتیک در پروسه ترمیم دلالت دارد.

**کلید واژه‌ها:** عصب سیاتیک، ترمیم، ماکروفاژ، E-FABP

### مقدمه

برای تمام طول عمر خود از ناتوانی‌های جسمی رنج می‌برند [۱]. همچنین ۵ درصد موارد زخم‌های باز ناشی از جراحاتی مانند سوانح رانندگی و مصدومیت‌های ورزشی با آسیب‌های سیستم عصبی محیطی همراه هستند [۲]. تنها در سال ۱۹۹۵ در ایالات متحده بیش از ۵۰۰۰۰۰ مورد عمل‌های ترمیمی برای درمان ضایعات اعصاب محیطی انجام شده است [۳]. صدمات و به دنبال آن آسیب اعصاب محیطی موجب ایجاد دردهای

امروزه آسیب‌های وارده به سیستم عصبی محیطی یکی از معضلات تهدید کننده سلامت جامعه بوده و در اکثر موارد تروما مشاهده می‌شود. در بسیاری از موارد این آسیب دیدگان

✉ آدرس مکاتبه: تهران، خیابان ملاصدرا، خیابان شیخ بهایی، مرکز تحقیقات آسیب‌های شیمیایی، دانشگاه علوم پزشکی بقیه الله (عج)

E-mail:rnourani@bmsu.ac.ir

یک رشته عصبی آسیب می‌بیند به سختی بهبود یافته و در نهایت نقصان عملکرد در اندام‌های مرتبط با آن مشاهده می‌شود [۶].

پس از اعمال تروما به یک عصب محیطی، تغییرات گسترده‌ای در سطح مولکولی و سلولی اتفاق می‌افتد تا شرایط لازم برای ترمیم عصب به وجود بیاید. تغییرات مورفولوژیکی که به دنبال آسیب اتفاق می‌افتد شامل والرین دژنراسانس (Wallerian Degeneration) قطعه دیستال نسبت به محل ضایعه، تکثیر سلول‌های شوان، جوانه زدن و رشد بطئی و طولی شدن آکسون، میلینی شدن و سرانجام ترمیم است [۷].

مرحله میلینی شدن آکسون در حال رشد از مراحل بحرانی پروسه ترمیم است، ۷۰ تا ۸۰ درصد مواد تشکیل دهنده میلین چربی و ۲۰ تا ۳۰ درصد پروتئین است [۸]. در سیستم اعصاب محیطی سلول‌های شوان سازنده غلاف میلین هستند و نقش مهمی را نه تنها در تکامل، مورفولوژی و فعالیت عصب سالم بلکه در مراحل آسیب و ترمیم عصب بازی می‌کند [۹ و ۱۰].

سیگنال‌های ارسالی توسط پدیده والرین دژنراسانس ماکروفاژهای مهاجم را به محل عصب در حال تخریب جذب می‌کند و علاوه بر اینکه بقایای میلین و آکسون عصب در حال دژنره را می‌بلعد بلکه نقش مهمی را در باز جذب میلین در حين WD بازی می‌کند [۱۱]. کلسترول میلین توسط ماکروفاژها بازیافت و ذخیره می‌شود و سپس در اختیار سلول‌های شوان گذاشته می‌شود تا در ساخت میلین در مرحله ترمیم قرار گیرد [۱۲].

### اسیدهای چرب با زنجیره طولانی

اسیدهای چرب با زنجیره طولانی (Long chain fatty acid) علاوه بر تأمین انرژی سلولی، سوسترای لازم برای بیوژنز غشایی هستند و به‌عنوان مولکول سیگنال‌دهنده هم عمل می‌کنند. این اسیدهای چرب و مشتقاتشان مستقیم یا غیرمستقیم مراحل سلولی را تنظیم می‌کنند، مانند تمایز (Differentiation)،

نروپاتک (Neuropathic pains) می‌شوند که یکی از موارد شایع مراجعات بالینی را تشکیل می‌دهند [۴].

آکسون هر فیبر عصب محیطی به وسیله میلین پوشیده شده و توسط بافت همبندی به‌نام اندونوریوم (Endoneurium) احاطه شده است. یک دسته از آکسون‌ها (فاسیکول) توسط غلاف محکم‌تری از بافت همبند به‌نام پری نوریوم (Perineurium) پوشیده شده است. این غلاف علاوه بر محافظت الیاف عصبی شامل عروق خونی است که تغذیه عصب را تأمین می‌کند. چند فاسیکول که یک عصب محیطی را تشکیل می‌دهند به وسیله غلاف نسبتاً محکمی که حالت ارتجاعی نسبتاً خوبی دارد به‌نام اپی‌نوریوم (Epineurium) پوشیده شده که عروق خونی در ضخامت آن وجود داشته و تغذیه عصب را تأمین می‌کند. این غلاف نسبتاً ضخیم بوده و با توجه به خاصیت ارتجاعی خوبی که دارد عصب را در مقابل کشش‌های وارده به آن محافظت می‌نماید.

### ترمیم و روش‌های ترمیمی اعصاب محیطی آسیب دیده

بعد از ایجاد آسیب در اعصاب محیطی قطعه پروگزیمال عصب قطع شده تا حدودی توانایی بازسازی و بازگشت مجدد عملکرد را دارد. سلول‌های شوان، فیروبلاست‌ها، ماکروفاژها و مونوسیت‌ها با کمک یکدیگر با پاکسازی باقیمانده‌های میلین، آزاد نمودن نوتروفین‌ها و هدایت آکسون‌ها موجبات فعالیت مجدد رشته عصبی را فراهم می‌آورند. برای بهبود این روند ترمیمی دو انتهای عصب قطع شده را مجدداً به هم بخیه می‌زنند در حالی که این اتصال مجدد در صورتی به‌درستی صورت می‌گیرد که دو انتهای رشته عصبی قطع شده به دقت و بدون اینکه تحت فشار باشند در مجاورت یکدیگر قرارگیرند و بایستی توجه ویژه‌ی نیز به آرایش و جهت قرارگیری فاسیکول‌های موجود در رشته عصبی صورت گیرد [۵]. اما به‌طور کلی فرایند ترمیم رشته عصبی یک فرایند پیچیده بیولوژیک بوده و هنگامی که

شده است. اسیدهای چرب پس از عبور از غشای سلول و به دلیل غیرمحلول بودن در محیط آبکی سیتوپلاسم، بایستی به FABP مورد نظر متصل شده و به ارگانل‌های داخل سلول مانند میتوکندری برای تولید انرژی، غشای سلول برای ترمیم و بازسازی، هسته برای بیان ژن و غیره. حمل شود [۳۷-۳۵]. با توجه به فعالیت زیاد عوامل موثر در مراحل آسیب و ترمیم عصب محیطی در جذب و بازیافت اسیدهای چرب و متابولیسم آن‌ها انتظار می‌رود تا ژن بعضی از انواع FABP ها در این روند فعال شوند. در این مطالعه تلاش خواهد شد تا نسبت به لوکالیزاسیون این مولکول در مراحل دژنراسانس و رژنراسانس عصب به روش ایمونوهیستوشیمی اقدام شود و سپس نقش مولکولی آن‌ها در روند آسیب و ترمیم بررسی شود.

### مواد و روش‌ها

در این مطالعه که به روش تجربی انجام شد، موش نژاد C57BL6 نر ۸ تا ۱۲ هفته‌ای با وزن حدود ۲۰ تا ۲۵ گرم استفاده شد. ۳۵ موش در ۷ گروه ۵ عددی شامل طبیعی، ۱، ۲ و ۳ روزه و ۱، ۳ و ۶ هفته بعد از عمل جراحی بررسی شدند. موش‌ها در شرایط استاندارد و براساس دستورالعمل حیوانخانه مرکزی با رعایت مسایل اخلاقی نگهداری شدند. آن‌ها قبل از عمل جراحی با تزریق داخل صفاقی نمبوتال بیهوش شده و سپس با برش پوستی به عصب سیاتیک در ناحیه بالایی ران دسترسی پیدا کرده (شکل ۱) و با یک میکروفورسپس آغشته به تولویدن بلوی غلیظ، عصب سیاتیک در ۵ میلی‌متر پایین‌تر از بریدگی سیاتیک به مدت ۱ دقیقه تحت فشار قرار داده شد. ۳ تا ۴ میلی‌متر پایین‌تر از محل آسیب با یک بخیه اپی‌نورال مشخص و پس از بخیه زدن فاصله دقیق بین کنار پایینی محل آسیب تا بخیه اندازه‌گیری شد [۳۸].

تکامل (Development)، بیان ژن (Gene expression)، فعالیت‌های آنزیمی، رسپتورهای غشایی و کانال‌های یونی. اسیدهای چرب یا متابولیت‌های آن به‌سختی در محیط آبکی سیتوپلاسم قابل حل شدن هستند بنابراین برای جابجایی آن‌ها درون سلول بین ارگانل‌های مختلف یا پروتئین‌ها توسط پروتئین‌های متصل به اسیدهای چرب به‌عنوان حامل عمل می‌کنند [۱۵-۱۳].

### پروتئین‌های متصل به اسیدهای چرب

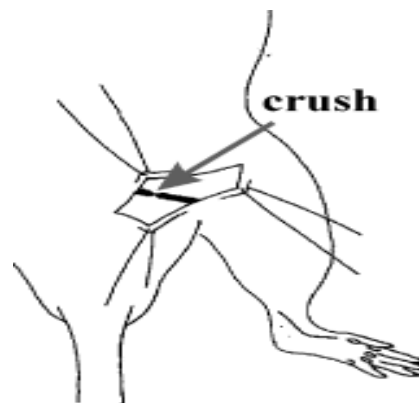
FABPs (Fatty Acid Binding Proteins) پروتئین داخل سیتوپلاسمی و غیرآنزیمی با وزن مولکولی ۱۴ کیلو دالتون است که قابلیت اتصال به اسیدهای چرب با زنجیره طولانی را دارد. ایزومرهای مختلفی از این مولکول شناخته شده و براساس اینکه از چه بافتی تخلیص شده باشد نام‌گذاری شده‌اند مانند نوع پوستی (Epidermal-type FABP)، نوع مغزی (Brain-type-FABP)، نوع چربی (Adipocyte-type-FABP)، نوع قلبی (Heart-type)، نوع روده‌ای (Intestinal-type I-FABP)، نوع کبدی (Liver-type L-FABP) و غیره [۲۲-۱۶].

مطالعات متفاوتی ثابت کرده‌اند که هر کدام از گونه‌های FABP علاوه بر بافت منشا در بافت‌های دیگری هم وجود دارند [۲۹-۲۳]. بعضی از این پروتئین‌ها به نوع خاصی از اسیدهای چرب گرایش دارند؛ به عنوان مثال B-FABP گرایش زیادی به اسیدهای چرب گروه غیراشباع N-3 دارد [۳۰ و ۳۱]. در حالی که E-FABP وابستگی خاصی به اسیدهای چرب اشباع و H-FABP به گروه غیراشباع N-3 گرایش دارد [۳۱-۳۴].

نقش‌های متفاوتی به این مولکول مانند کنترل در دریافت اسیدهای چرب و مشتقات آن‌ها و توزیع داخل سلولی آن‌ها، تلفیق فعالیت آنزیم‌های مؤثر در متابولیسم اسیدهای چرب، محافظت از غشای سلولی در قبال دترژنت‌ها (detergent) و انجام وظیفه به عنوان مولکول سیگنال دهنده نسبت داده

### مطالعه مورفومتری

مورفومتری به وسیله برنامه نرم افزاری آنالیز تصویر (NIH Image, National Instituted of Health) انجام شد. تصاویر دیجیتال توسط دوربین سه مگا پیکسل نیکون که متصل به میکروسکوپ نوری بود تهیه شد. فیبرهای میلینی (MFs) هر عصب در ۵ منطقه که به صورت تصادفی انتخاب شده بودند به مساحت کلی ۲۰۰ میکرومتر مربع شمارش (۳۸) و مقایسه شدند.



شکل ۱. محل اعمال آسیب فشاری به عصب سیاتیک

### مطالعه ایمونوهیستوشیمی

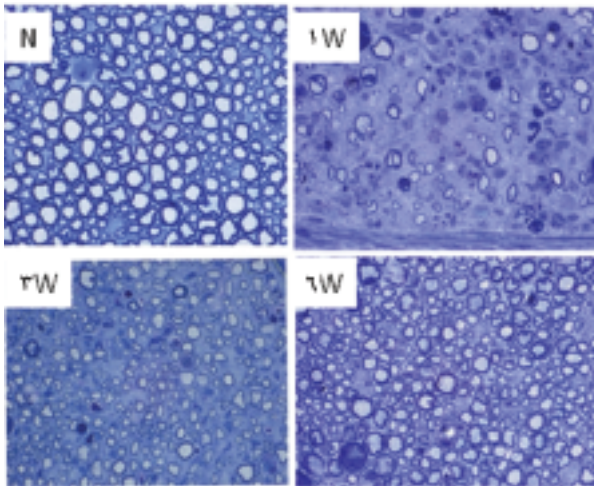
برای مطالعه بیان پروتئین‌ها ۵ میلی‌متر از عصب سیاتیک موش‌ها تحت بیهوشی کامل پس از ۱ و ۳ روز و ۱، ۳ و ۶ هفته پس از جراحی به صورتی که شامل ۱ میلی‌متر قسمت سالم بالایی و ۱ میلی‌متر محل آسیبی و ۳ میلی‌متر از قسمت پایینی باشد، خارج شد. نمونه‌ها در تثبیت کننده ۴ درصد پارافرمالید در فسفات بافر سالین (PBS: Phosphate Buffer Saline) به مدت ۴ ساعت قرار گرفت و پس از شستشو با PBS در محلول ۲۰ درصد ساکروز قرار می‌گیرد. با استفاده از کرایواستات برش‌های طولی به ضخامت ۲۰ میکرون تهیه شد. آنتی‌بادی اولیه E-FABP و F4/80 که یک مارکر ماکروفاژ است، استفاده شد. آنتی‌بادی ثانویه Anti-rat IgG Rabbit IgG برای E-FABP و آنتی‌بادی ثانویه Anti-rat IgG برای F4/80 استفاده شد (جدول ۱). با استفاده از پروتکل ایمونوهیستوشیمی استرایپتایدین-بیوتین برش‌های تهیه شده رنگ‌آمیزی انجام شد.

### مطالعه مورفولوژی

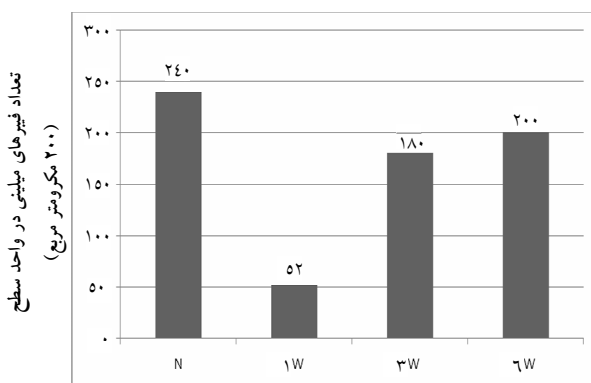
عصب سیاتیک موش‌ها تحت بیهوشی کامل پس از ۱، ۳ و ۶ هفته پس از جراحی و نمونه طبیعی، تحت بیهوشی کامل خارج شده و بلافاصله در تثبیت کننده ۲/۵ درصد گلو تارالدئید در ۰/۰۵ مولار بافر فسفات pH= 7.4 به مدت ۲ ساعت قرار داده شد و عصب سیاتیک تثبیت شده از کنار پایینی محل آسیب به طول ۳ میلی‌متر برش زده شد و به مدت ۲ ساعت در محلول ۲ درصد تتراکسیدسدم-فسفات بافر pH= 7.4 قرار گرفت. با قرار دادن نمونه در درجات نزولی اتانول آنرا آبگیری کرده و پس از گذراندن از پروپیلن اکساید در اپوکسی رزین قالب‌گیری شد. با استفاده از اولترامیکروتوم برش‌های عرضی نیمه نازک با ضخامت ۰/۷۵ میکرونی از کنار پروگزیمال قطعه دیستال به سمت دیستال به طول ۰/۴ میلی‌متر زده شد و پس از رنگ‌آمیزی با تولوئیدین بلو توسط میکروسکوپ نوری مطالعه شد.

جدول ۱. لیست آنتی‌بادی‌های مورد استفاده

هدف اختصاصی	نوع آنتی‌بادی	غلظت در PBS	آنتی‌بادی
در این پروژه مشخص می‌شود	اولیه	0.5 ug/ml	E-FABP
مارکر ماکروفاژ	اولیه	۱:۲۰۰	آنتی F4/80
E-FABP	ثانویه	۱:۲۰۰	Anti Rabbit IgG conjugate to fluorescent Alexa488
E-FABP	ثانویه	۱:۲۰۰	Anti Rabbit IgG. biotinilated
F4/80	ثانویه	۱:۲۰۰	Anti Rat IgG conjugate to fluorescent Alexa594
F4/80	ثانویه	۱:۲۰۰	Anti Rat IgG. biotinilated



شکل ۲. در این شکل برش عرضی از یک عصب سیاتیک قبل و بعد از آسیب له شدگی نمایش داده شده است. در نمونه طبیعی رشته های عصبی میلین دار بصورت منظم سازماندهی شده اند (N). ۱ هفته پس از آسیب و شروع دژنراسانس تقریباً اکثر رشته های عصبی دژنره می شوند و فقط تعدادی رشته عصبی میلین دار به چشم می خورد. در شکل مربوط به ۳ هفته پس از آسیب تعداد زیادی رشته عصبی میلین دار در حال بازسازی دیده می شوند. قطر آکسونها و ضخامت غشای میلین در مقایسه با نرمال بسیار کوچک است و ۶ هفته پس از آسیب با نمای تقریباً مشابه با نمونه نرمال روبرو هستیم و بازسازی تقریباً رو به اتمام است. (بزرگنمایی  $\times 100$ )



شکل ۳. یک هفته پس از ایجاد آسیب تعداد فیبرهای عصبی میلینی به طور قابل توجهی در نمای برش عرضی (۲۱/۷ درصد باقی مانده) کاهش پیدا کرده اند. تعداد فیبرهای عصبی میلینی پس از ۳ هفته از آسیب و طی مراحل ترمیم افزایش پیدا می کنند (۷۵ درصد)، این تعداد پس از گذشت ۶ هفته نسبت به ۳ هفته افزایش کمی دارد و تقریباً نمای نزدیک به نمونه سالم را دارد (۸۳ درصد).

آسیب با آنتی بادی پلی کلونال E-FABP رنگ آمیزی شدند. در برش طولی نمونه طبیعی، عصب فقط یک رنگ زمینه ای

## مطالعه فلوروسنت ایمنو هیستوشیمی

در این مطالعه از رنگ های فلوروسنت متصل به آنتی بادی ثانویه Anti-Rat IgG-Alexa594 برای آنتی بادی اولیه F4/80 و Anti-Rabbit IgG- Alexa488 (Molecular Probe, Eugene, OR, USA) برای آنتی بادی اولیه E-FABP استفاده و با میکروسکوپ فلوروسنت بررسی شد.

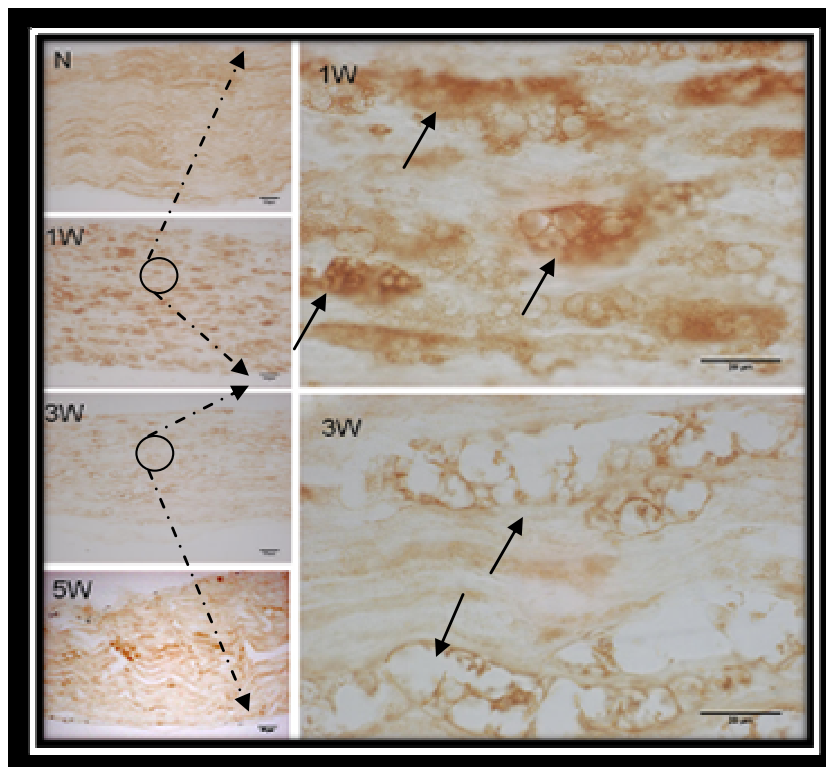
## یافته ها

### مورفولوژی و مورفومتری

در این مطالعه به عصب سیاتیک در اثر فشار فورسپس آسیب وارد کرده و با ثابت نمودن نمونه ها توسط گلو تار آلدئید و تتراکسیداسمیوم، چربی غلاف میلین حفظ شده و در برش های عرضی به صورت یک حلقه تقریباً سیاه که پیرامون آکسون قرار دارد، دیده می شود. برش های نیمه نازک با تولوئیدین بلو رنگ آمیزی شده و با میکروسکوپ نوری فیبرهای عصبی میلینی عصب های سیاتیک در واحد سطح شمارش شدند (قطر  $< 3$  میکرومتر). در نمونه سالم فیبرهای میلینی به صورت دوایری که آکسون را احاطه کرده اند در دستجات منظم سازماندهی شده اند. یک هفته پس از ایجاد آسیب تعداد فیبرهای عصبی میلینی به طور قابل توجهی (۲۱/۷ درصد باقی مانده) کاهش پیدا کردند و در نمای برش عرضی به صورت پراکنده توزیع شده و قطعات شکسته این فیبرهای میلینی توسط ماکروفازها بلعیده می شوند. تعداد فیبرهای عصبی میلینی پس از ۳ هفته از آسیب و طی مراحل ترمیم افزایش پیدا کرد (۷۵ درصد)، قطر آکسونها و ضخامت غشای میلین در مقایسه با گروه طبیعی بسیار کوچکتر به نظر می رسند. این تعداد پس از گذشت ۶ هفته نسبت به ۳ هفته افزایش کمی دارد و تقریباً نمای نزدیک به نمونه سالم را دارد (۸۳ درصد) (شکل ۲ و ۳).

### ایمنو هیستوشیمی

E-FABP: برش های طولی تهیه شده از عصب های سیاتیک نمونه های طبیعی، ۱ و ۳ روزه و ۱، ۳ و ۶ هفته پس از ایجاد



**شکل ۴:** در این شکل برش طولی عصب سیاتیک که با آنتی‌بادی E-FABP رنگ‌آمیزی ایمنی شده اند به چشم می‌خورد. (N) دربرش طولی نمونه نرمال عصب هیچ عکس العمل ایمنی وجود ندارد. (1W) یک هفته پس از آسیب سازماندهی منظم فیبرهای عصبی از بین رفته و تعداد زیادی سلول که به این آنتی‌بادی واکنش مثبت دارند دیده می‌شوند. با بزرگنمایی بیشتر نمای واکوئوله و فومی شکل این سلول‌ها (پیکان) بخوبی نمایان است. (3W) شدت واکنش آنتی‌بادی در سلول‌های مثبت پس از سه هفته از آسیب کاهش یافته و تعدادشان نیز کمتر شده است. سلول‌های فوق متورم بنظر میرسند و پس از پنج هفته (5W) نمای برش طولی عصب در حال ترمیم مشابه نمونه سالم به نظر می‌رسد.

پنج‌م فیبرهای عصبی میلینی را به صورت دسته‌های منظم و موجی شکل نشان می‌دهد و هیچ‌گونه عکس‌العمل به آنتی‌بادی دیده نمی‌شود. مشابه این الگو در یک روز بعد از آسیب نیز به چشم می‌خورد. سازماندهی منظم فیبرهای عصبی از روز دوم پس از آسیب به صورت تصاعدی دچار بی‌نظمی شده و در روز هفتم پس از آسیب این بی‌نظمی به حداکثر می‌رسد. E-FABP آنتی‌بادی یک هفته پس از آسیب عصب در تعداد زیادی سلول که به صورت ساختمان‌های دوکی شکل در موازات طولی عصب سازماندهی شده‌اند به شدت بیان می‌شوند. سیتوپلاسم این سلول‌ها واکوئوله و نمای کف صابونی دارند (شکل ۴). در هفته سوم پس از آسیب تعداد این سلول‌ها کمتر شده و واکوئول‌های آن‌ها متورم به نظر می‌رسند و شدت واکنش به E-FABP نیز کاهش می‌یابد (شکل ۴). در هفته

پنج‌م فیبرهای عصبی میلینی را به صورت دسته‌های منظم و موجی شکل نشان می‌دهد و هیچ‌گونه عکس‌العمل به آنتی‌بادی دیده نمی‌شود. مشابه این الگو در یک روز بعد از آسیب نیز به چشم می‌خورد. سازماندهی منظم فیبرهای عصبی از روز دوم پس از آسیب به صورت تصاعدی دچار بی‌نظمی شده و در روز هفتم پس از آسیب این بی‌نظمی به حداکثر می‌رسد. E-FABP آنتی‌بادی یک هفته پس از آسیب عصب در تعداد زیادی سلول که به صورت ساختمان‌های دوکی شکل در موازات طولی عصب سازماندهی شده‌اند به شدت بیان می‌شوند. سیتوپلاسم این سلول‌ها واکوئوله و نمای کف صابونی دارند (شکل ۴). در هفته سوم پس از آسیب تعداد این سلول‌ها کمتر شده و واکوئول‌های آن‌ها متورم به نظر می‌رسند و شدت واکنش به E-FABP نیز کاهش می‌یابد (شکل ۴). در هفته

### ایمونوفلوروسنس

حضور ساختمان‌های دوکی شکل حاوی پروتئین E-FABP در عصب آسیب دیده یک سؤال اساسی را در ذهن مطرح می‌کند که چه سلولی این پروتئین را بیان می‌کند؟ برای فهم دقیق و شناخت نوع سلول‌هایی که مولکول E-FABP را به مقدار زیاد بیان می‌کنند اقدام به طراحی آزمایش رنگ‌آمیزی دوگانه به روش ایمونوفلوروسنس شد. در این مطالعه

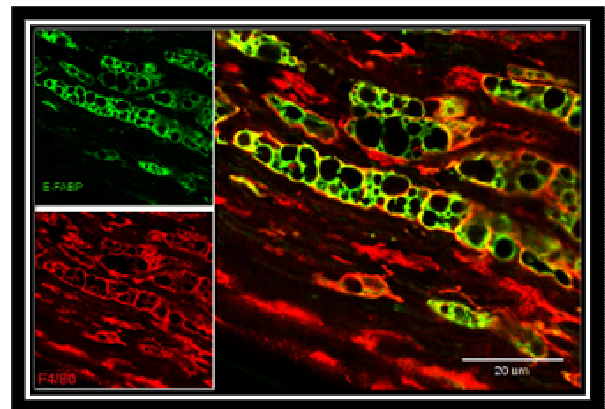
در این مطالعه در اثر فشار وارده به عصب سیاتیک علاوه بر آسیب غلاف میلین، آکسون سلول عصبی نیز قطع شده ولی غلاف نگهدارنده سالم است و موجب اکسنوتمزیز (Axonotmesis) می شود و والریان دژنرسانس در سگمان پایین نسبت به محل آسیب اتفاق می افتد.

برای بررسی مراحل آسیب و ترمیم در سطح میکروسکوپ نوری اقدام به تهیه برش های نیمه نازک شد و مشاهده شد که در برش عرضی از یک عصب سالم، رشته های آکسونی که توسط حلقه های میلینی احاطه شده اند وجود دارند. این رشته ها به صورت منظم در دسته های مختلف توسط Epi-, Peri- and Endoneurium سازماندهی می شوند. در حین دژنرسانس عصب، این نظم به هم خورده و رشته های عصبی میلین دار به طور چشمگیری کاهش می یابد، به طوری که یک هفته پس از آسیب حدود ۲۱ درصد رشته ها سالم باقی می ماند و بقیه طی فرایند والرین دژنرسانس و فعالیت ماکروفاژها حذف می شوند. تعداد رشته های عصبی میلین دار در مرحله رژنرسانس افزایش یافته به صورتی که سه هفته پس از آسیب حدود ۷۵ درصد رشته ها ترمیم شده و پس از ۶ هفته تقریباً نمای یک عصب سالم را نشان می دهد غلاف های میلینی حاوی آکسون های ترمیم یافته به صورت دسته جات (Fascicles) منظم در برش عرضی به چشم می خوردند؛ بنابراین می توان نتیجه گیری کرد که در ضایعات فشاری عصب سیاتیک موش حداقل سه هفته وقت نیاز است تا شاهد برگشت فعالیت حرکتی باشیم.

اتو (Eto) و همکارانش عصب سیاتیک موش را به مدت ۳۰ ثانیه تحت فشار قرار دادند و مراحل آسیب و ترمیم را با استفاده از برش های عرضی ۰/۷۵ میکرومتری و میکروسکوپ نوری بررسی و نتایج مشابه با یافته های این تحقیق را گزارش کردند [۳۹] (شکل ۲).

رنگ آمیزی ایمنی دوگانه با آنتی بادی های E-FABP و F4/80، واکنش ایمنی E-FABP در ماکروفاژهای مهاجم به منطقه والرین دژنرسانس به صورت واضح نشان داده شده است به صورتی که تمامی سلول هایی که واکنش مثبت ایمنی به

برش های ۲۰ میکرونی طولی عصب سیاتیک یک هفته پس از اعمال له شدگی به صورت همزمان با آنتی بادی F4/80 که یک نشانگر شناخته شده برای ماکروفاژ است و آنتی بادی E-FABP رنگ آمیزی شدند. تقریباً تمامی سلول هایی که به آنتی بادی E-FABP عکس العمل نشان داده اند همزمان به بیومارکر ماکروفاژ هم پاسخ ایمنی مثبت نشان دادند (شکل ۵). در نتیجه می توان گفت که سلول هایی که واکنش ایمنی مثبت E-FABP دارند و همزمان واکنش ایمنی مثبت به بیومارکر F4/80 دارند ماکروفاژ هستند. بنابراین می توان نتیجه گیری کرد که در این مرحله از آسیب و ترمیم عصب سیاتیک در موش های بالغ، ژن مولکول E-FABP در ماکروفاژهای مهاجم به محل ضایعه به شدت بیان شده اند.

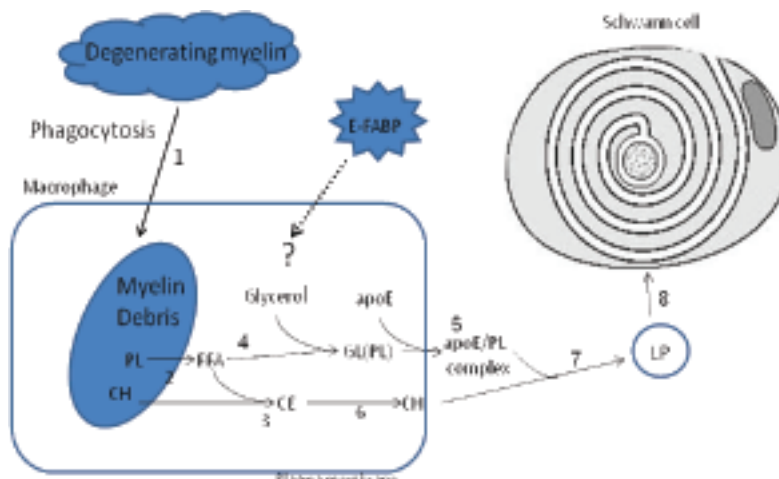


شکل ۵. در تصویر آنتی بادی F4/80 به رنگ قرمز و آنتی بادی E-FABP به رنگ سبز و رنگ زرد مربوط به سلول هایی است که هر دو آنتی بادی در آنها عکس العمل نشان داده اند.

## بحث

آسیب اعصاب محیطی یکی از شایع ترین جراحات های ناشی از حوادث و به خصوص جنگ است. پس از اعمال تروما به یک عصب محیطی، تغییرات گسترده ای در سطح مولکولی و سلولی اتفاق می افتد تا شرایط لازم برای ترمیم عصب به وجود بیاید. تغییرات مورفولوژیکی که به دنبال آسیب اتفاق می افتد شامل والریان دژنرسانس قطعه دیستال نسبت به محل ضایعه، تکثیر سلول های شوان جوانه زدن و رشد بطئی و طولیل شدن آکسون، میلینی شدن و سرانجام ترمیم است [۷].





شکل ۶. میلین درون سلول شوآن در حال دژنره شدن بوسیله ماکروفاژ بلعیده می‌شود [۱]. فسفولیپید (PL) میلین هیدرولیز شده و اسید چرب آزاد (FFA) تولید می‌شود [۲] و سپس در اثر استری شدن به کلستریل استر (CE) [۳] و گلیسرولیپید/ فسفولیپید [۴] تبدیل می‌شود. PL با آپولیپروتئین E (apoE) کمپلکس تشکیل داده و به خارج از ماکروفاژ ترشح می‌شوند [۵]. کلسترول دیواره سلولی از کلستریل استر (CE) داخل سلولی تأمین می‌شود [۶]. کمپلکس PL با آپولیپروتئین E (apoE) با دریافت کلسترول غشا پلاسمایی، ذرات لیپوپروتئین خارج سلولی را تشکیل می‌دهند [۷]. ذرات لیپوپروتئین خارج سلولی بتدریج توسط سلول‌های شوآن که در بازسازی میلین دخالت دارند جذب می‌شوند و به عنوان ماده اصلی در فرایند بازسازی میلین شرکت می‌کنند [۸].

پلاسمایی (کلسترول دیواره سلولی از کلستریل استر (CE) داخل سلولی تأمین می‌شود)، ذرات لیپوپروتئین خارج سلولی را تشکیل می‌دهند. ذرات لیپوپروتئین خارج سلولی به تدریج توسط سلول‌های شوآن که در بازسازی میلین دخالت دارند جذب می‌شوند و به عنوان ماده اصلی در فرایند بازسازی میلین شرکت می‌کنند و بدین وسیله مواد لازم برای بازسازی میلین در اختیار سلول‌های شوآن فعال در میلین‌سازی قرار می‌گیرد (شکل ۶). هیراتا (Hirata) و همکارانش در بررسی نقش ماکروفاژها در مراحل آسیب و ترمیم عصب محیطی گزارش کردند که ماکروفاژها علاوه بر شرکت در فاگوسیتوزیس میلین، ترشح فاکتورهای میتوژنیک و اینترلوکین ۱، در ساخت و ترشح آپولیپروتئین E برای به‌کارگیری مجدد چربی‌ها در مراحل بازسازی عصب سیاتیک نقش دارند [۴۰].

اخیراً بیان مولکول E-FABP در سلول‌های دندریتی پالپ سفید طحال پس از اعمال LPS (Lipopoly Sacharide) توسط کیتاناکا (Kitanaka) و همکارانش گزارش شده است؛ آن‌ها ۲۴ ساعت پس از اعمال داخل صفاقی LPS با لmfوسیت‌های آپوتوز شده در پالپ سفید طحال مواجهه شدند که سپس

E-FABP داشتند همزمان به آنتی‌بادی F4/80 نیز واکنش مثبت نشان دادند. این یافته که برای اولین بار گزارش می‌شود این سؤال را مطرح می‌کند که چرا مولکول E-FABP در یک زمان خاص در ماکروفاژهای مهاجم بیان می‌شود و چه نقشی در سیکنالینگ سلولی و مولکولی در مراحل آسیب و ترمیم بازی می‌کند؟

گودروم (Goodrum) و همکارانش گزارش کردند که با شروع دژنراسانس عصب قطعات میلین توسط ماکروفاژها بلعیده شده و سپس متابولیسم چربی برای تبدیل دبریدها به اسیدهای چرب آزاد و در نهایت ترشح لیپوپروتئین خارج سلولی افزایش می‌یابد. قطعات میلین عصب در حال دژنره شدن به وسیله ماکروفاژ بلعیده می‌شود. فسفولیپید (Phospholipid) میلین هیدرولیز شده و اسید چرب آزاد (FFA) تولید می‌شود و سپس در اثر استری شدن به کلستریل استر (CE) و گلیسرولیپید/ فسفولیپید تبدیل می‌شود. فسفولیپید با آپولیپروتئین E (apoE) کمپلکس تشکیل داده و به خارج از ماکروفاژ ترشح می‌شوند. کمپلکس PL با آپولیپروتئین E (apoE) با دریافت کلسترول غشای

اسیدهای چرب و مشتقات آنها و توزیع داخل سلولی آنها، تلفیق فعالیت آنزیم‌های مؤثر در متابولیسم اسیدهای چرب، محافظت از غشای سلولی در قبال دترژنت‌ها و انجام وظیفه به‌عنوان مولکول سیگنالینگ و با توجه به یافته‌های این تحقیق و نتایج تحقیقات دیگران، می‌توان گفت که ماکروفاژهای مهاجم به عصب در حال دژنراسانس، تخمدان و پالپ سفید طحال با تغییرات ناشناخته داخل سلولی در متابولیسم اسیدهای چرب و چربی‌ها به‌وسیله فاگوسیتوزیس فعال ارتباط دارد.

سیگنال‌های ارسالی توسط پدیده والرین دژنراسانس ماکروفاژهای مهاجم را به محل عصب در حال تخریب جذب می‌کند. آنها علاوه بر این که بقایای میلین و آکسون عصب در حال دژنره را می‌بلعند، نقش مهمی را در باز جذب میلین در حین والرین دژنراسانس بازی می‌کنند. کلاسترول میلین توسط ماکروفاژها بازیافت و ذخیره می‌شود و سپس در اختیار سلول‌های شوآن گذاشته می‌شود تا در ساخت میلین در مرحله ترمیم استفاده شود. بیان مولکول E-FABP در ماکروفاژهای مهاجم به محل آسیب عصب و منطقه والرین دژنراسانس دلالت بر نقش فعال E-FABP یا لیگاندهایش و اسیدهای چرب موجود در عصب سیاتیک در پروسه دژنراسانس و رژنراسانس دارد.

توسط سلول‌های دندریتی بلعیده می‌شوند. سلول‌های دندریتی در این مرحله ظاهری گرد و بزرگ دارند و سلول‌های مرده بلعیده شده با رنگ‌آمیزی TUNEL نیز مشخص شده است که نشان‌دهنده فعالیت فاگوسیتوزی سلول‌های دندریتی است. سلول‌های دندریتی که پاسخ ایمنی مثبت به E-FABP نشان داده‌اند جزء سلول‌های دندریتی CD<sup>8+</sup> طبقه‌بندی شده‌اند [۴۱] که نقش اختصاصی در متابولیسم و انتقال سیگنال اسیدهای چرب دارد و در نهایت این مولکول را به عنوان نشانگر زیستی سلول‌های دندریتی پالپ سفید طحال معرفی کردند [۴۲]. نورانی (Nourani) و همکارانش حضور مولکول E-FABP را در ماکروفاژهای مهاجم به فولیکول‌های در حال آترزی تخمدان گزارش کرده‌اند؛ در هر پرئود جنسی و اوولاسیون تخمدان، تعداد زیادی فولیکول شروع به رشد می‌کنند و در موش تعداد کمی از آنها به مرحله بلوغ و اوولاسیون می‌رسند و بقیه در مسیر رشد دچار آترزی می‌شوند و توسط ماکروفاژهای مهاجم بلعیده می‌شوند. با توجه به اینکه سلول‌های فولیکولی سرشار از هورمون‌های استروئیدی هستند و ترکیب بیوشیمیایی این هورمون‌ها از اسیدهای چرب است بنابراین حضور مولکول E-FABP در ماکروفاژهای فعال براساس نقش ذاتی‌اش قابل انتظار است [۳۶]. با توجه به نقش‌های متفاوتی مولکول‌های FABP مانند کنترل در دریافت

## References

1. Noble J, Munro CA, Prasad VSSV, Midha R. Analysis of upper and lower extremity peripheral nerve injuries in a population of patients with multiple injuries. *J Trauma* 1998; 45: 116-22.
2. Van Dijk J, Pondaag W, Malessy M. Obstetric lesions of the brachial plexus. *Muscle Nerve* 2001; 24: 1451-61.
3. Evans GRD, Brandt K, Katz S, Chauvin P, Otto L, Bogle M, et al. Bioactive poly (L-lactic acid) conduits seeded with Schwann cells for peripheral nerve regeneration. *Biomaterials* 2003; 841-8.
4. Portenoy RK, Foley KM, Inturrisi CE. The nature of opioid responsiveness and its implications for neuropathic pain: new hypotheses derived from studies of opioid infusions. *Pain* 1990; 43: 273-86.
5. Lundborg G. Nerve injury and repair. Edinburgh, Churchill Livingstone, 1988.
6. Huang YC, Huang YY. Biomaterials and strategies for nerve regeneration. *Artificial Organs* 2006; 7: 514-22.
7. De León M, Welcher AA, Nahin RH, Liu Y, Ruda MA, Shooter EM, et al. Fatty acid binding protein

- is induced in neurons of the dorsal root ganglia after peripheral nerve injury. *J Neurosci Res* 1996; 44(3): 283-92.
8. **Garbay B, Heape AM, Sargueil F, Cassagn C.** Myelin synthesis in the peripheral nervous system. *Prog Neurobiol* 2000; 61: 267-304.
  9. **Frostick SP, Fracs DM, Yin Qi, Kemp GJ.** Schwann cells, neurotrophic factors, and peripheral nerve regeneration. *Microsurgery* 1998; 18(7): 397-405.
  10. **Chen Z, Chen ZX, Chen HX, Chen HS, Zhou T, Lu HS.** Schwann cell apoptosis in Wallerian-degenerated sciatic nerve of the rat. *Chin J Traumatol* 2004;7(4): 220-8.
  11. **Mueller M, Wacker K, Bernd Ringelstein EB, William F, Imai Y, Kiefer R.** Hickey, Yoshinori Imai, Reinhard Kiefer. Rapid Response of Identified Resident Endoneurial Macrophages to Nerve Injury. *Am J Pathol* 2001; 159: 523-31.
  12. **Goodrum JF, Weaver JE, Goines ND, Bouldin TW.** Fatty acid from degenerating myelin lipids are conserved and reutilized for myelin synthesis during regeneration in peripheral nerve. *Neurochemistry* 1995; 65(4): 72-83.
  13. **Kitanaka N, Owada Y, Abdelwahab SA, Iwasa H, Sakagami H, Watanabe M, Spener F, Kondo H.** Specific localization of epidermal-type fatty acid binding protein in dendritic cells of splenic white pulp. *Histochem Cell Biol* 2003; 120 (6): 465-73. Epub 2003 Nov 12.
  14. **Nourani MR, Owada Y, Kitanaka N, Sakagami H, Hoshi H, Iwasa H, Spener F, Kondo H.** Occurrence of immunoreactivity for adipocyte-type fatty acid binding protein in degenerating granulosa cells in atretic antral follicles of mouse ovary. *J Mol Histol* 2005; 36(8-9):491-7.
  15. **Duttaroy AK, Spener F.** Cellular Proteins and their Fatty Acids in Health and Disease. Wiley-vch Verlag GMBH & Co. KGaA, Weinheim, Germany, 2003.
  16. **Gordon JI, Alpers DH, Ockner RK, Strauss AW.** The nucleotide sequence of rat liver fatty acid binding protein mRNA. *J Biol Chem* 1983; 258: 3356-63.
  17. **Glatz JF, Vork MM, van der Vusse GJ.** Significance of cytoplasmic fatty acid-binding protein for the ischemic heart. *Mol Cell Biochem* 1993; 123:167-73.
  18. **Alpers DH, Strauss AW, Ockner RK, Bass NM, Gordon JI.** Cloning of a cDNA encoding rat intestinal fatty acid binding protein. *Proc Natl Acad Sci USA* 1984; 81: 313-317.
  19. **Hunt CR, Ro JH, Dobson DE, Min HY, Spiegelman BM.** Adipocyte P2 gene: developmental expression and homology of 5'-flanking sequences among fat cell-specific genes. *Proc Natl Acad Sci USA* 1986; 83:3786-90.
  20. **Siegenthaler G, Hotz R, Chatellard-Gruaz D, Jaconi S, Saurat JH.** Characterization and expression of a novel human fatty acid binding protein: the epidermal type (E-FABP). *Biochem Biophys Res Commun* 1993; 190: 482-7.
  21. **Feng L, Hatten ME, Heintz N.** Brain lipid-binding protein (BLBP): a novel signaling system in the developing mammalian CNS. *Neuron* 1994; 12: 895-908.
  22. **Kurtz A, Zimmer A, Schnutgen F, Bruning G, Spener F, Muller T.** The expression pattern of a novel gene encoding brain-fatty acid binding protein correlates with neuronal and glial cell development. *Development* 1994; 120: 2637-49.
  23. **Iseki S, Kondo H, Hitomi M, Ono T.** Immunocytochemical localization of hepatic fatty acid binding protein in the liver of fed and fasted rats. *Histochemistry* 1988; 89:317-22.
  24. **Veerkamp JH, Paulussen RJ, Peeters RA, Maatman RG, van Moerkerk HT, van Kuppevelt TH.** Detection, tissue distribution and (sub) cellular localization of fatty acid-binding protein types. *Mol Cell Biochem* 1990; 98:11-18.
  25. **Watanabe M, Ono T, Kondo H.** Immunohistochemical studies on the localisation and ontogeny of heart fatty acid binding protein in the rat. *J Anat* 1991; 174:81-95.
  26. **Owada Y, Suzuki R, Iwasa H, Spener F, Kondo H.** Localization of epidermal-type fatty acid binding protein in the rat. *Histochemistry* 1993; 99:117-22.

- ding protein in the thymic epithelial cells of mice. *Histochem Cell Biol* 2002a; 117:55- 60.
27. **Owada Y, Takano H, Yamanaka H, Kobayashi H, Sugitani Y, Tomioka Y, et al.** Altered water barrier function in epidermal-type fatty acid binding protein-deficient mice. *J Invest Dermatol* 2002b; 118: 430-5.
  28. **Owada Y, Utsunomiya A, Yoshimoto T, Kondo H.** Changes in gene expression for skin-type fatty acid binding protein in hypoglossal motor neurons following nerve crush. *Neurosci Lett* 1997; 223: 25-8.
  29. **Yun X, Nourani MR, Abdelwahab SA, Kitanaka N, Owada Y, Spener F, et al.** Differential localization of brain-type and epidermal-type fatty acid binding proteins in the adrenal gland of mice. *Tohoku J Exp Med* 2004; 203:77- 86.
  30. **Xu LZ, Sanchez R, Sali A, Heintz N.** Ligand specificity of brain lipid-binding protein. *J Biol Chem* 1996; 271:24711-9.
  31. **Balendiran GK, Schnutgen F, Scapin G, Borchers T, Xhong N, Lim K, Godbout R, Spener F, Sacchetti JC.** Crystal structure and thermodynamic analysis of human brain fatty acid-binding protein. *J Biol Chem* 2000; 275:27045-54.
  32. **Kingma PB, Bok D, Ong DE.** Bovine epidermal fatty acid-binding protein: determination of ligand specificity and cellular localization in retina and testis. *Biochemistry* 1988; 37:3250-7.
  33. **Hohoff C, Borchers T, Rustow B, Spener F, van Tilbeurgh H.** Expression, purification, and crystal structure determination of recombinant human epidermal-type fatty acid binding protein. *Biochemistry* 1999; 38: 12229-39.
  34. **Zimmerman AW, van Moerkerk HT, Veerkamp JH.** Ligand specificity and conformational stability of human fatty acid-binding proteins. *Int J Biochem Cell Biol* 2001; 33: 865-76.
  35. **Yun X, Nourani MR, Abdelwahab SA, Kitanaka N, Owada Y, Spener F, et al.** Differential localization of brain-type and epidermal-type fatty acid binding proteins in the adrenal gland of mice. *Tohoku J Exp Med* 2004; 203:77- 86.
  36. **Nourani M, Owada Y, Kitanaka N, Abdelwahab S, Iwasa H, Sakagami H, et al.** Localization of epidermal-type fatty acid binding protein in macrophages in advanced atretic follicles of adult mice. *J Mol Histol* 2006; 23:503-8.
  37. **Nourani MR, Owada Y, Kitanaka N, Sakagami H, Hoshi H, Iwasa H, et al.** Occurrence of immunoreactivity for adipocyte-type fatty acid binding protein in degenerating granulosa cells in atretic antral follicles of mouse ovary. *J Mol Hist* 2005; 36:491-7.
  38. **Lee KS, Wolfe SW.** Peripheral nerve injury and repair. *J AM Acad Ortho Sur* 2000; 8(4):431-9.
  39. **Eto M, Yoshikawa H, Fujimura H, Naba I, Sumi-Akamaru H, Takayasu S, et al.** The role of CD36 in peripheral nerve remyelination after crush injury. *Eur J Neurosci* 2003;17(12): 2659-66.
  40. **Hirata K, Kawabuchi M.** Myelin Phagocytosis by Macrophages and Nonmacrophages During Wallerian Degeneration. *Microscopy research and technique* 2002; 57: 541-47.
  41. **Leenen PJ, Radosevic K, Voerman JS, Salomon B, van Rooijen N, Klatzmann D, et al.** Heterogeneity of mouse spleen dendritic cells: in vivo phagocytic activity, expression of macrophage markers, and subpopulation turnover. *J Immunol* 1998; 160: 2166-73.
  42. **Kitanaka N, Owada Y, Abdelwahab SA, Iwasa H, Sakagami H, Watanabe M, et al.** Specific localization of epidermal-type fatty acid binding protein in dendritic cells of splenic white pulp. *Histochem Cell Biol* 2003; 120: 465-73.